

Algoritmos de otimização com meta-heurística

Daniel Arruda Ponte - 121048284

08 de Julho de 2025

Resumo

Este trabalho compara quatro algoritmos de otimização por meta-heurísticas: Algoritmo Genético (AG), Evolução Diferencial (DE), Otimização por Enxame de Partículas (PSO) e o C-DEEPSO. Os experimentos foram realizados nas funções de benchmark Rosenbrock e Rastrigin, em dimensões 10, 30 e 50, com 30 execuções por cenário. Os parâmetros foram ajustados via **optuna** e os resultados analisados com estatísticas descritivas, teste de Friedman e teste post-hoc Nemenyi. O DE apresentou os melhores desempenhos médios, enquanto o C-DEEPSO destacou-se por sua rápida convergência inicial e maior estabilidade em altas dimensões. O PSO se mostrou competitivo em baixas dimensões, e o AG teve desempenho inferior nos cenários mais desafiadores (dimensões mais altas e função multimodal).

1 Introdução

Nesse artigo, será comparada a implementação do algoritmo de otimização com metaheurística C-DEEPSO com os algoritmos DE, PSO e Algoritmo Genético, sendo todas elas implementações autorais. Esses testes serão feitos com as funções de benchmark Rosenbrock e Rastrigin para as dimensões 10, 30 e 50; além disso, os resultados serão validados com os métodos de inferência estatística do teste de Friedman e Nemenyi.

2 Algoritmos evolutivos

Algoritmos evolutivos são métodos de otimização originalmente inspirados em comportamentos da natureza, especialmente nos princípios da evolução natural, como seleção, cruzamento e mutação. Um exemplo clássico é o comportamento coletivo de enxames ou populações, em que os indivíduos interagem entre si e com o ambiente para adaptar-se e sobreviver – um princípio que é refletido na forma como as soluções candidatas interagem em busca de melhorias ao longo das gerações. Esses algoritmos operam sobre uma população de soluções e, de forma iterativa, selecionam e modificam os indivíduos com base em seu desempenho em relação a uma função objetivo.

Por serem métodos estocásticos, incorporam elementos de aleatoriedade em seu processo de busca, o que contribui para explorar eficientemente o espaço de soluções. Uma de suas principais vantagens é a flexibilidade: não exigem conhecimento analítico ou derivadas da função a ser otimizada, sendo adequados para problemas complexos, não lineares e com múltiplos ótimos locais. No entanto, por sua natureza heurística, não garantem a obtenção do ótimo global — seu objetivo é fornecer boas aproximações da melhor solução possível. A seguir, serão apresentados individualmente os algoritmos evolutivos abordados neste artigo, com ênfase em suas características distintivas e desempenho comparativo.

2.1 Algoritmo Genético (AG)

O *Algoritmo Genético* (AG) é uma meta-heurística inspirada nos princípios da evolução natural e seleção biológica. Ele busca encontrar a solução ótima de uma função $f(x)$ por meio da evolução de uma população de soluções candidatas ao longo de várias gerações.

A cada iteração, também chamada de *geração*, o algoritmo executa as etapas de *seleção*, *crossover* e *mutação* para gerar uma nova população. A **seleção** privilegia os indivíduos mais aptos com base nos valores da função objetivo; o **crossover** combina indivíduos para gerar descendentes; e a **mutação** introduz variações aleatórias nos descendentes para manter a diversidade da população.

Na implementação feita neste trabalho, foram utilizados operadores de **seleção por torneio**, **cruzamento BLX- α** e **mutação creep**. A seguir, detalhamos os três operadores aplicados em cada geração do algoritmo.

Seleção por Torneio. A seleção por torneio é um método estocástico que consiste em amostrar aleatoriamente N indivíduos da população atual e selecionar o mais apto entre eles para reprodução. Esse processo é repetido até que a quantidade necessária de indivíduos selecionados seja atingida.

Crossover BLX- α . O operador de *crossover* BLX- α (Blend Crossover) é uma técnica utilizada para gerar um descendente N a partir de dois pais $x^{(1)}$ e $x^{(2)}$ no espaço contínuo; essa técnica recebe também um parâmetro α para o cálculo da distribuição uniforme.

$$N = x^{(1)} + \mathcal{U}(-\alpha, 1 + \alpha) \times (x^{(2)} - x^{(1)})$$

Mutação Creep. A mutação *creep* consiste em adicionar uma pequena perturbação aleatória a cada gene de um indivíduo com uma certa probabilidade. Essa perturbação é usualmente amostrada de uma distribuição normal ou uniforme centrada em zero, para essa implementação foi utilizada a distribuição normal.

$$x_i \leftarrow x_i + \varepsilon_i, \quad \varepsilon_i \sim \mathcal{N}(0, \sigma^2),$$

2.2 Evolução Diferencial (DE)

A *Evolução Diferencial* (DE) é uma meta-heurística estocástica inspirada na recombinação e mutação de vetores direcionada por diferenças entre indivíduos da população.

Assim como o Algoritmo Genético, a cada geração, novos candidatos são criados por meio de três operações principais: **mutação**, **recombinação** e **seleção**. A **mutação** consiste em gerar um vetor perturbado a partir da diferença entre dois ou mais indivíduos da população; a **recombinação** mistura esse vetor mutante com o indivíduo atual para formar uma solução candidata; por fim, a **seleção** escolhe entre a solução atual e a nova, mantendo aquela com melhor valor de função objetivo.

Na implementação feita neste trabalho, utilizou-se a estratégia de mutação **DE/current-to-best/1** e a recombinação do tipo binária. A seguir, detalham-se esses mecanismos utilizados em cada etapa da DE.

Mutação Diferencial. A mutação é realizada pela combinação linear de vetores da população. Na implementação deste trabalho, o vetor mutante v_i é construído utilizando a estratégia **DE/current-to-best/1**, que possui o seguinte cálculo:

$$v_i = x_i + F \cdot (x_{\text{best}} - x_i) + F \cdot (x_{r1} - x_{r2})$$

Nessa expressão, os índices $r1, r2$ referem-se a vetores distintos escolhidos aleatoriamente da população (diferentes entre si e do vetor-alvo x_i), F é o fator de escala e x_{best} é o indivíduo mais apto da população atual.

Crossover Binário. O operador de *crossover* combina o vetor-alvo x_i com o vetor mutante v_i para formar o vetor trial u_i . Para cada dimensão j , define-se:

$$u_{i,j} = \begin{cases} v_{i,j}, & \text{se } rand_j \leq Cr \\ x_{i,j}, & \text{caso contrário} \end{cases}$$

onde Cr é a taxa de recombinação, $rand_j$ é uma amostra aleatória em $[0, 1]$ e j_{rand} é um índice aleatório que garante que pelo menos um gene venha de v_i .

Seleção por Substituição Direta. Após gerar o vetor trial u_i e avaliá-lo, ele substitui o vetor-alvo x_i apenas se apresentar aptidão melhor (minimização da função objetivo):

$$x_i \leftarrow \begin{cases} u_i, & \text{se } f(u_i) < f(x_i) \\ x_i, & \text{caso contrário} \end{cases}$$

Esse mecanismo garante que a nova população nunca tenha desempenho pior que a anterior, promovendo uma pressão seletiva constante.

2.3 Otimização por Enxame de Partículas (PSO)

A *Otimização por Enxame de Partículas* (PSO) é uma técnica de otimização populacional inspirada no comportamento coletivo de enxames, como bandos de aves ou cardumes de peixes, ao buscar alimento.

Cada solução candidata é representada por uma **partícula**, que se move em um espaço de busca multidimensional. As partículas possuem memória da melhor posição que encontraram individualmente (*personal best position*) e são também influenciadas pela melhor posição já encontrada por todo o enxame (*global best position*). A movimentação das partículas é controlada por duas equações principais: a atualização de **velocidade** e a atualização de **posição**.

Atualização da Velocidade. A velocidade de cada partícula é atualizada a partir de três componentes: inércia, atração pela melhor posição pessoal e atração pela melhor posição global. A equação de atualização da velocidade é dada por:

$$v_{i,j} \leftarrow w \cdot v_i + c_1 \cdot r_1 \cdot (p_i - x_i) + c_2 \cdot r_2 \cdot (g - x_i)$$

Nessa expressão: v_i é a velocidade da partícula i ; x_i é a posição atual; p_i é a melhor posição pessoal da partícula; g é a melhor posição global do enxame; w é o coeficiente de inércia; c_1 e c_2 são os coeficientes de aceleração cognitiva e social, respectivamente; $r_1, r_2 \sim \mathcal{U}(0, 1)$ são variáveis aleatórias uniformes.

Atualização da Posição. Com a nova velocidade calculada, a posição da partícula é atualizada simplesmente somando-se a nova velocidade à posição atual:

$$x_i \leftarrow x_i + v_i$$

Seleção por Atualização de Memória. Ao final de cada iteração, o valor da função objetivo da nova posição x_i é comparado com o da melhor posição já encontrada pela partícula, p_i . Caso a nova posição seja superior (menor valor da função objetivo, no caso de minimização), a memória da partícula é atualizada:

$$p_i \leftarrow \begin{cases} x_i, & \text{se } f(x_i) < f(p_i) \\ p_i, & \text{caso contrário} \end{cases}$$

Além disso, a melhor posição global g do enxame é atualizada com base na melhor posição pessoal entre todas as partículas. Esse mecanismo de atualização assegura que a informação sobre boas soluções seja preservada ao longo das iterações, guiando o movimento coletivo do enxame para regiões promissoras do espaço de busca.

2.4 C-DEEPSO

O *Canonical Differential Evolutionary Particle Swarm Optimization* (C-DEEPSO) é uma meta-heurística híbrida que combina elementos dos algoritmos Particle Swarm Optimization (PSO) e Differential Evolution (DE). Proposto por Marcelino (2017), o C-DEEPSO estende a abordagem DEEPSO de Miranda e Alves (2013), incorporando conceitos como memória coletiva, macrogradiente direcional, mutações nos pesos de movimentação e operadores do DE para guiar a atualização das partículas.

As partículas no C-DEEPSO possuem posição e velocidade como no PSO, mas não mantêm memória individual. Em vez disso, utilizam uma **memória coletiva** que armazena as k_{mem} melhores soluções encontradas até o momento. A trajetória de cada partícula é determinada por três componentes: **inércia**, **macrogradiente direcional** e **comunicação com a melhor solução global**. Cada um desses componentes é ponderado por pesos adaptativos sujeitos à mutação gaussiana, promovendo diversidade nas partículas geradas. A comunicação entre partículas é modulada por uma matriz estocástica binária, gerada com base na probabilidade p_{com} .

Vetor de estratégias. A cada iteração, para cada partícula x_i , são gerados dois vetores guias: um vetor x_{DE} obtido por meio de operadores do DE (mutação e recombinação) e um vetor x_r amostrado aleatoriamente da população ou da memória coletiva. O vetor x_{st} é então definido como o melhor entre x_{DE} e x_r de acordo com a avaliação da função objetivo:

$$x_{st} \leftarrow \begin{cases} x_{DE}, & \text{se } f(x_{DE}) < f(x_r) \\ x_r, & \text{caso contrário} \end{cases}$$

Essa escolha permite utilizar a melhor entre uma solução gerada por variações direcionadas e uma alternativa aleatória, equilibrando exploração e intensificação.

Para este trabalho, foram escolhidas as estratégias **DE/current-to-best/1** para a geração do vetor x_{DE} e **Pb** para amostragem do vetor x_r da memória coletiva.

Macrogradiente. O C-DEEPSO utiliza uma espécie de gradiente local que atua na mudança de sinal da diferença entre vetores guias. O chamado **macrogradiente direcional** é definido como o **sinal da direção** do vetor mais promissor (melhor aptidão) que corrige a direção da diferença entre x_{st} e a partícula atual x_i , ou seja:

$$\hat{\nabla}(x_{st}, x_i) \leftarrow \begin{cases} 1, & \text{se } f(x_{st}) < f(x_i) \\ -1, & \text{caso contrário} \end{cases}$$

Esse vetor de sinais indica a direção componente a componente em que a partícula deve se mover para se aproximar da melhor alternativa disponível, sem depender de derivadas analíticas da função objetivo.

Mutação. Os pesos de inércia (w_I), macrogradiente (w_A) e comunicação (w_C), assim como a melhor posição global x_{gb} , são perturbados a cada iteração por ruído gaussiano, com intensidade controlada pela taxa de mutação τ_{mut} . Essa mutação adaptativa visa evitar a estagnação prematura, mantendo a diversidade do enxame.

Equação de movimento. A velocidade de cada partícula é atualizada pela seguinte equação vetorial:

$$v'_i \leftarrow \tilde{w}_I v_i + \tilde{w}_A \cdot \hat{\nabla}(x_{st}, x_i) \cdot (x_{st} - x_i) + \tilde{w}_C \cdot C \cdot (\tilde{x}_{gb} - x_i)$$

em que $\tilde{w}_I, \tilde{w}_A, \tilde{w}_C$ são os pesos mutados, C é a matriz de comunicação binária, e \tilde{x}_{gb} é a versão perturbada da melhor solução global. A posição é então atualizada por:

$$x'_i \leftarrow x_i + v'_i$$

com projeção para dentro dos limites do espaço de busca, se necessário.

Seleção e Memória Coletiva. Após avaliar $f(x'_i)$, a partícula adota a nova posição apenas se esta apresentar melhor desempenho (menor valor da função objetivo). As melhores soluções da população são utilizadas para atualizar a memória coletiva, que armazena as k_{mem} melhores soluções encontradas até então. A melhor solução global x_{gb} também é atualizada a cada geração, garantindo que o conhecimento coletivo seja constantemente refinado.

3 Descrição das Funções de Benchmark

3.1 Rosenbrock

A função de Rosenbrock é definida como:

$$f(\mathbf{x}) = \sum_{i=1}^{d-1} [(1 - x_i)^2 + 100(x_{i+1} - x_i^2)^2].$$

É uma função **não convexa**, **diferenciável** e **unimodal**. O mínimo global ocorre em $\mathbf{x}^* = \mathbf{1}$, com $f(\mathbf{x}^*) = 0$. Para os experimentos, considera-se $x_i \in [-2.048, 2.048]$.

3.2 Rastrigin

A função Rastrigin é definida como:

$$f(\mathbf{x}) = 10d + \sum_{i=1}^d [x_i^2 - 10 \cos(2\pi x_i)].$$

É uma função **não convexa**, **diferenciável** e altamente **multimodal**. O mínimo global ocorre em $\mathbf{x}^* = \mathbf{0}$ com $f(\mathbf{x}^*) = 0$. Para os experimentos, considera-se $x_i \in [-0.5, 0.5]$.

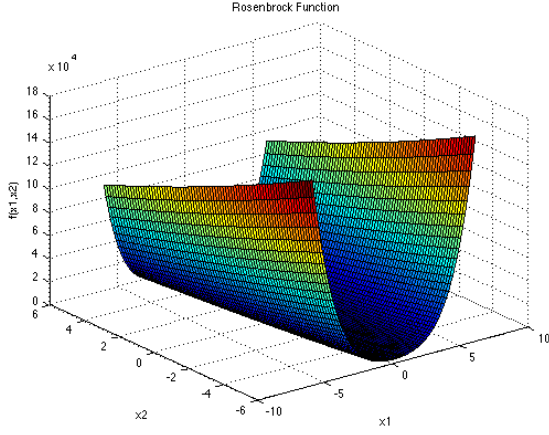


Figura 1: Função Rosenbrock

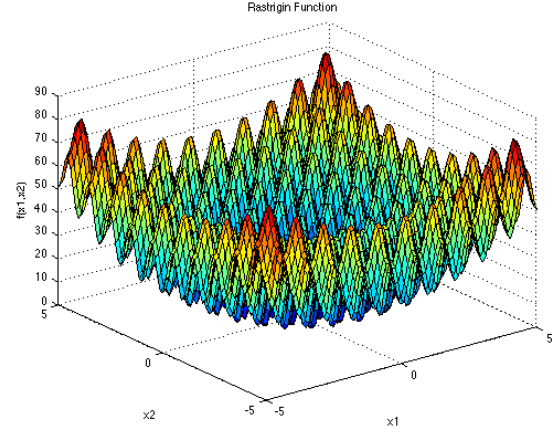


Figura 2: Função Rastrigin

4 Experimentos

Os experimentos foram conduzidos utilizando as funções Rosenbrock e Rastrigin descritas na Seção 3, sendo testadas nas **dimensões 10, 30 e 50**, com respectivas limitações de quantidade de **avaliações de função: 10.000, 30.000 e 50.000**. Além disso, o tamanho da população de todos os testes foi fixado em **100 indivíduos** e foram computadas **30 execuções** de cada cenário de teste.

Em relação aos parâmetros de execução dos algoritmos, para cada cenário de teste —tripla (Algoritmo, Função, Dimensão) —foram otimizados usando a biblioteca **optuna**; segue a tabela abaixo com os resultados:

Tabela 1: Parâmetros do AG

| Função | Dimensão | tx_recomb | tx_mut | t_elite | t_torneios | var_mut |
|------------|----------|-----------|--------|---------|------------|---------|
| Rosenbrock | 10 | 0.31 | 0.64 | 8 | 2 | 0.16 |
| Rastrigin | 10 | 0.66 | 0.49 | 7 | 7 | 0.26 |
| Rosenbrock | 30 | 0.79 | 0.75 | 3 | 10 | 0.12 |
| Rastrigin | 30 | 0.40 | 0.37 | 7 | 1 | 0.12 |
| Rosenbrock | 50 | 0.26 | 0.58 | 8 | 1 | 0.15 |
| Rastrigin | 50 | 0.37 | 0.58 | 2 | 5 | 0.14 |

Tabela 2: Parâmetros do CDEEPSO

| Função | Dimensão | Cr | t_mut | p_com | k_mem | wi | wa | wc |
|------------|----------|------|-------|-------|-------|------|------|------|
| Rosenbrock | 10 | 0.61 | 0.38 | 0.21 | 5 | 0.33 | 0.73 | 0.30 |
| Rastrigin | 10 | 0.13 | 0.53 | 0.86 | 4 | 0.32 | 0.40 | 0.85 |
| Rosenbrock | 30 | 0.63 | 0.22 | 0.33 | 9 | 0.13 | 0.68 | 0.90 |
| Rastrigin | 30 | 0.68 | 0.34 | 0.90 | 2 | 0.12 | 0.28 | 0.74 |
| Rosenbrock | 50 | 0.13 | 0.13 | 0.90 | 7 | 0.13 | 0.48 | 0.52 |
| Rastrigin | 50 | 0.32 | 0.54 | 0.86 | 4 | 0.25 | 0.50 | 0.22 |

| Tabela 3: Parâmetros do PSO | | | | |
|-----------------------------|----------|------|------|------|
| Função | Dimensão | w | c1 | c2 |
| Rosenbrock | 10 | 0.61 | 1.61 | 1.74 |
| Rastrigin | 10 | 0.41 | 1.50 | 1.53 |
| Rosenbrock | 30 | 0.49 | 2.05 | 1.58 |
| Rastrigin | 30 | 0.46 | 2.37 | 1.50 |
| Rosenbrock | 50 | 0.48 | 1.74 | 1.71 |
| Rastrigin | 50 | 0.53 | 2.22 | 1.57 |

| Tabela 4: Parâmetros do DE | | | |
|----------------------------|----------|------|------|
| Função | Dimensão | Cr | F |
| Rosenbrock | 10 | 0.17 | 0.58 |
| Rastrigin | 10 | 0.74 | 0.54 |
| Rosenbrock | 30 | 0.19 | 0.62 |
| Rastrigin | 30 | 0.90 | 0.49 |
| Rosenbrock | 50 | 0.27 | 0.63 |
| Rastrigin | 50 | 0.90 | 0.47 |

Ao final das execuções, foram calculadas as seguintes métricas estatísticas para avaliar o desempenho dos algoritmos: Média dos valores de função obtidos, Desvio padrão, Melhor (menor) valor encontrado e Pior (maior) valor encontrado. Também foram gerados gráficos de curva de convergência e gráficos boxplot dos resultados que serão exibidos na seção abaixo.

5 Resultados

Neste trabalho, para análise de resultados, foram utilizados os testes não paramétricos de Friedman e Nemenyi para comparar o desempenho de diferentes algoritmos de otimização. O teste de Friedman avalia se há diferenças estatísticas globais entre os algoritmos, enquanto o teste de Nemenyi realiza comparações par a par para identificar quais algoritmos diferem entre si.

Teste de Friedman: Assume dados pareados e independência entre blocos, sem exigir normalidade. Hipóteses: H_0 : As medianas (ou distribuições) dos algoritmos são iguais; H_1 : Pelo menos um algoritmo difere significativamente dos demais. Estatística:

$$\chi_F^2 = \frac{12N}{k(k+1)} \sum_{j=1}^k R_j^2 - 3N(k+1)$$

com $N = n^o$ de problemas, $k = n^o$ de algoritmos, $R_j =$ soma dos ranks do algoritmo j .

Como mostrado na tabela a seguir, todos os testes de Friedman apresentaram p -valor $< 0,05$, indicando que há diferença estatística entre algum dos quatro algoritmos em todos os cenários avaliados.

| Função | Dimensão | Estatística de Friedman | p -valor | Decisão sobre H_0 |
|------------|----------|-------------------------|---------------------|---------------------|
| Rosenbrock | 10 | 73,72 | 6,814183e-16 | Rejeita |
| Rastrigin | 10 | 38,12 | 2,665868e-08 | Rejeita |
| Rosenbrock | 30 | 66,28 | 2,670068e-14 | Rejeita |
| Rastrigin | 30 | 66,32 | 2,617964e-14 | Rejeita |
| Rosenbrock | 50 | 87,76 | 6,631522e-19 | Rejeita |
| Rastrigin | 50 | 72,76 | 1,094217e-15 | Rejeita |

Tabela 5: Resultados do teste de Friedman com $\alpha = 0,05$

Teste de Nemenyi (post-hoc): Hipóteses: H_0 : algoritmos i e j têm o mesmo desempenho; H_1 : diferem significativamente. Diferença Crítica:

$$CD = q_\alpha \sqrt{\frac{k(k+1)}{6N}}$$

Se $|R_i - R_j| > CD$, há diferença significativa.

Para o teste de Nemenyi, temos os resultados da tabela abaixo:

Heatmap dos Resultados do Teste de Nemenyi

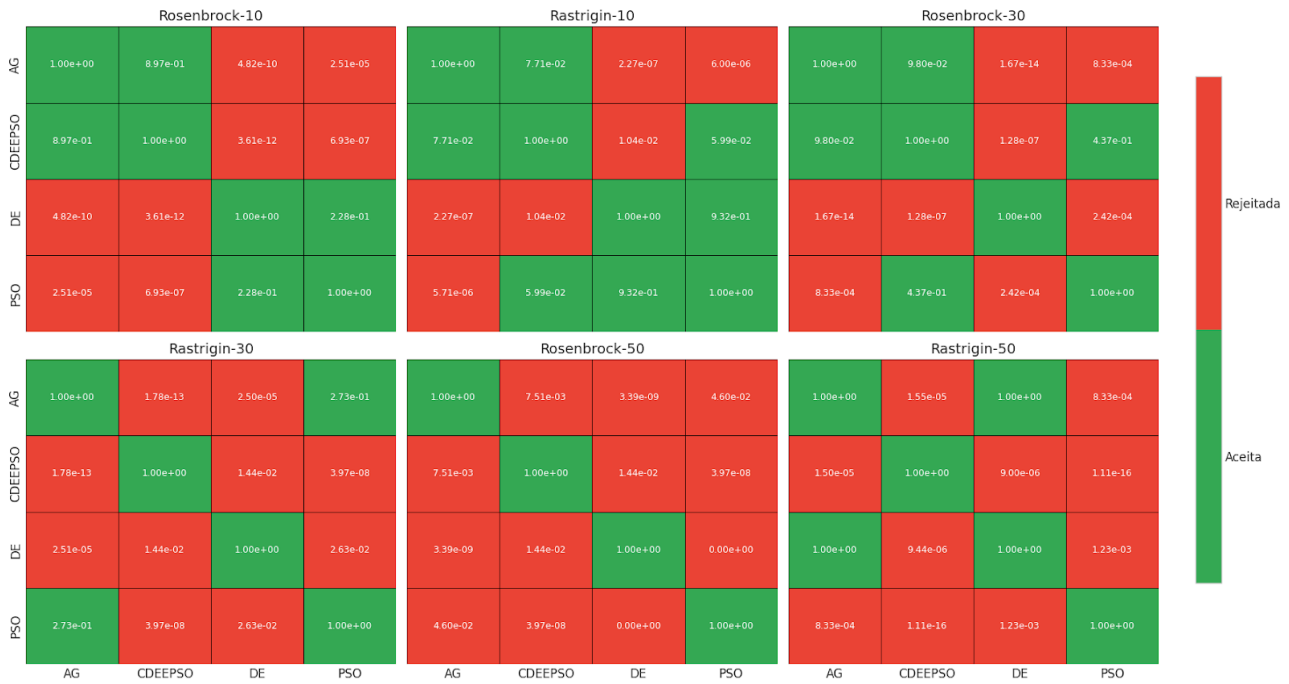


Figura 3: Heatmaps dos resultados do Teste de Nemenyi

A partir disso, temos os resultados dos experimentos realizados, destacando os casos em negrito que possuem uma diferença estatística significativa em relação aos demais algoritmos; na Tabela 6 são exibidos os resultados dos experimentos feitos na função Rosenbrock e na Tabela 7 na função Rastrigin. A seguir, também são apresentados os gráficos boxplot e curvas de convergência separados pela função testada e pela dimensão do problema.

Tabela 6: Resultados dos algoritmos para a função Rosenbrock

| Algoritmo | Dimensão | Média | Desvio Padrão | Mínimo | Máximo |
|-----------|----------|------------------|---------------|-----------|-------------|
| C-DEEPSO | 10 | 8.915419 | 0.986863 | 5.035167 | 9.936764 |
| PSO | 10 | 5.030057 | 1.532106 | 0.005172 | 8.021951 |
| DE | 10 | 3.638633 | 1.182451 | 1.184446 | 5.584688 |
| AG | 10 | 8.878965 | 0.971119 | 5.463885 | 10.147080 |
| C-DEEPSO | 30 | 29.114159 | 0.270088 | 28.488425 | 29.572643 |
| PSO | 30 | 34.001103 | 25.303426 | 20.962230 | 144.182200 |
| DE | 30 | 20.919153 | 1.409679 | 18.694685 | 24.960480 |
| AG | 30 | 38.998634 | 26.672334 | 28.205904 | 167.215489 |
| C-DEEPSO | 50 | 48.665503 | 0.065242 | 48.527660 | 48.800284 |
| PSO | 50 | 198.226438 | 202.812370 | 58.242394 | 1124.518155 |
| DE | 50 | 40.030239 | 1.596904 | 37.863213 | 45.663233 |
| AG | 50 | 68.137100 | 17.171135 | 51.499594 | 134.876731 |

Tabela 7: Resultados dos algoritmos para a função Rastrigin

| Algoritmo | Dimensão | Média | Desvio Padrão | Mínimo | Máximo |
|-----------|----------|------------------|---------------|------------|------------|
| C-DEEPSO | 10 | 22.067741 | 15.250379 | 0.360426 | 49.586991 |
| PSO | 10 | 11.215701 | 6.154812 | 1.064827 | 28.853742 |
| DE | 10 | 8.908251 | 1.621703 | 5.399575 | 12.548462 |
| AG | 10 | 30.191672 | 17.855001 | 9.882670 | 79.747599 |
| C-DEEPSO | 30 | 6.777418 | 18.236059 | 0.192364 | 92.018961 |
| PSO | 30 | 63.164682 | 17.836375 | 32.835540 | 96.501044 |
| DE | 30 | 43.163548 | 4.012954 | 34.850333 | 52.665680 |
| AG | 30 | 89.946344 | 25.415220 | 31.655010 | 152.626958 |
| C-DEEPSO | 50 | 4.037647 | 3.004185 | 0.502139 | 14.412273 |
| PSO | 50 | 199.245308 | 39.136429 | 111.608895 | 300.547412 |
| DE | 50 | 121.398369 | 8.538013 | 105.299928 | 138.637603 |
| AG | 50 | 125.160492 | 71.516076 | 34.121064 | 349.997535 |

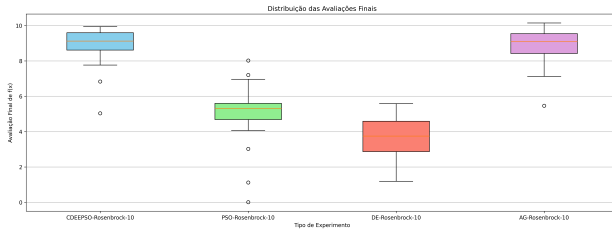


Figura 4: Boxplot para Rosenbrock (10)

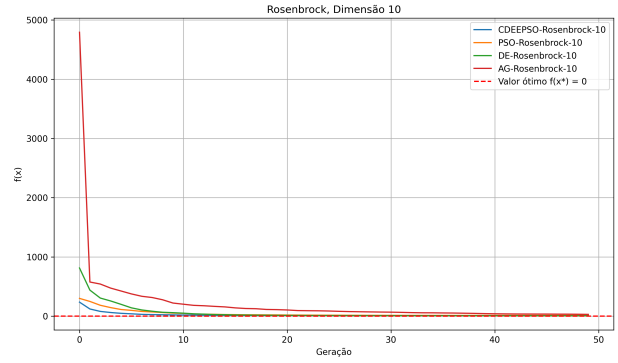


Figura 5: Curvas de convergência Rosenbrock (10)

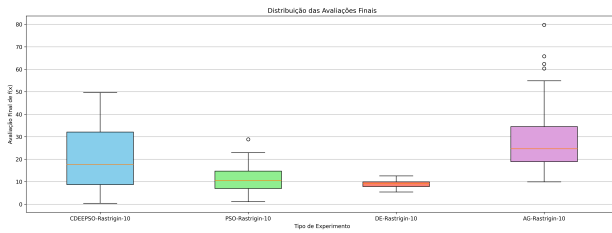


Figura 6: Boxplot para Rastrigin (10)

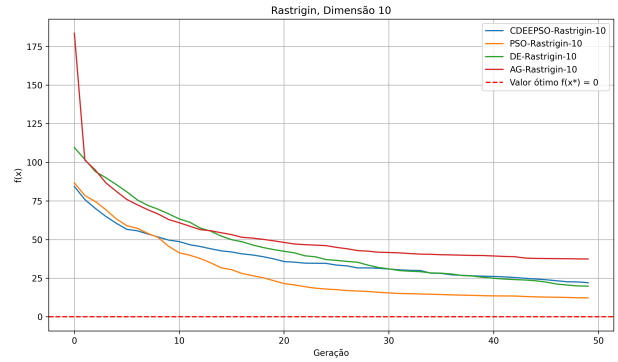


Figura 7: Curvas de convergência Rastrigin (10)

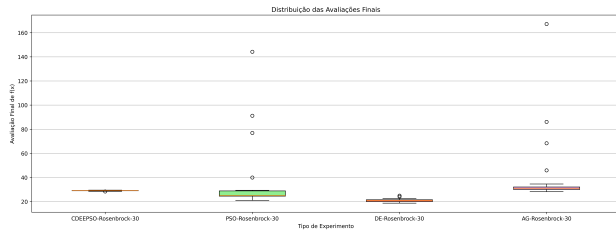


Figura 8: Boxplot para Rosenbrock (30)

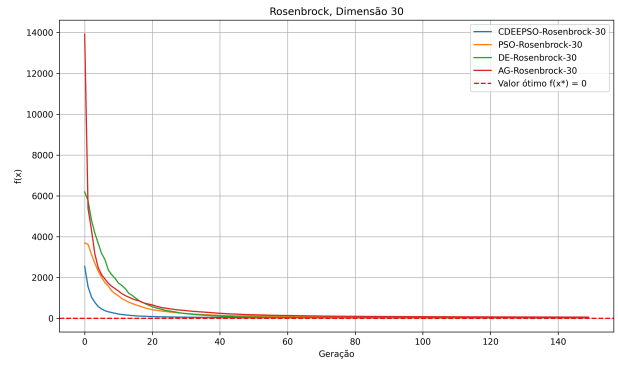


Figura 9: Curvas de convergência Rosenbrock (30)

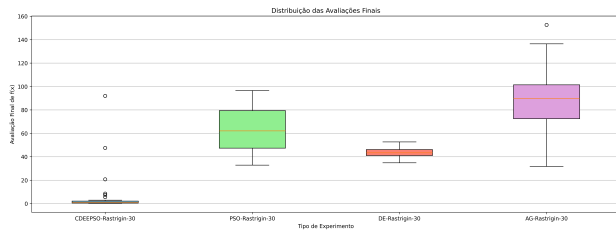


Figura 10: Boxplot para Rastrigin (30)

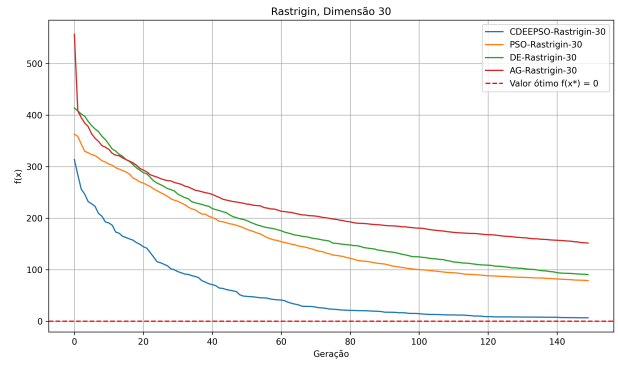


Figura 11: Curvas de convergência Rastrigin (30)

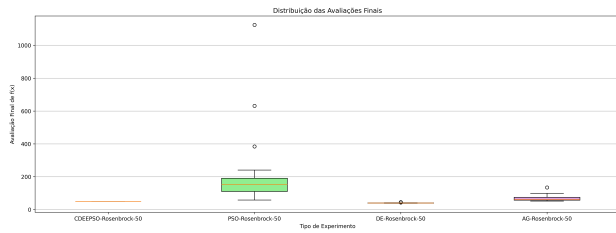


Figura 12: Boxplot para Rosenbrock (50)

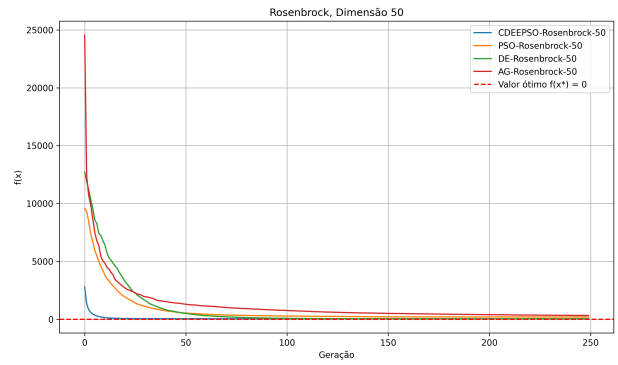


Figura 13: Curvas de convergência Rosenbrock (50)

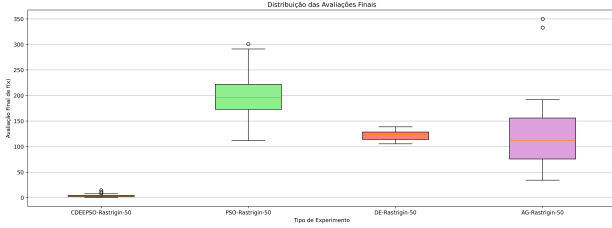


Figura 14: Boxplot para Rastrigin (50)

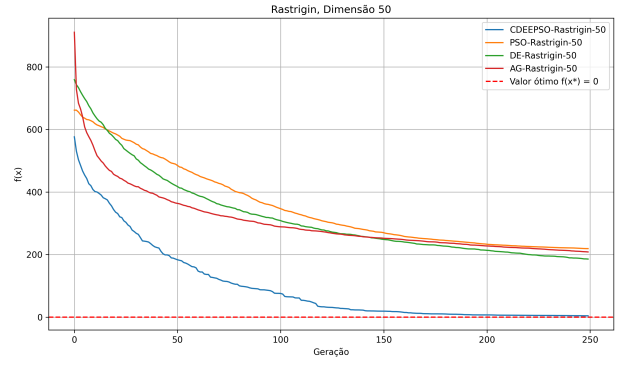


Figura 15: Curvas de convergência Rastrigin (50)

6 Conclusões e Considerações Finais

Este trabalho avaliou comparativamente o desempenho de quatro algoritmos de otimização com meta-heurística — Algoritmo Genético (AG), Evolução Diferencial (DE), Otimização por Enxame de Partículas (PSO) e C-DEEPSO — em cenários envolvendo as funções de benchmark Rosenbrock (unimodal) e Rastrigin (multimodal) em dimensões de 10, 30 e 50. Além disso, foram feitos os ajustes de hiperparâmetros com *optuna*, a execução de 30 rodadas independentes por cenário e a validação estatística com os testes de Friedman e Nemenyi.

A análise estatística, por meio do teste de Friedman, confirmou com alta significância ($p < 0.05$) a existência de diferenças de desempenho entre os algoritmos em todos os cenários. Para complementar, o teste post-hoc de Nemenyi e as métricas de desempenho destacaram a Evolução Diferencial (DE) como o algoritmo mais eficaz na maioria das situações, apresentando os melhores resultados médios na função Rosenbrock em todas as dimensões e na função Rastrigin em dimensão 10. O PSO demonstrou desempenho bom, especialmente em dimensões mais baixas, mas seus resultados pioraram consideravelmente em problemas de dimensões maiores, onde apresentou alto desvio padrão nos resultados.

O C-DEEPSO revelou um funcionamento bom com problemas complexos, superando com significância estatística os demais algoritmos na função multimodal Rastrigin em altas dimensões (30 e 50). Uma característica notável, observada nas curvas de convergência, foi sua velocidade superior nas iterações iniciais. Mesmo nos cenários em que não obteve a melhor média, como na função Rosenbrock de 50 dimensões, o C-DEEPSO se destacou por sua estabilidade (menor desvio padrão), superando todos os outros nesse quesito. Em contrapartida, o Algoritmo Genético (AG), foi o terceiro melhor algoritmo para todas experimentações da Rosenbrock e o pior algoritmo para todos experimentos conduzidos na Rastrigin, o que mostra uma dificuldade dessa implementação do algoritmo convergir numa função multimodal como a Rastrigin.

Em resumo, o DE se mostrou um algoritmo muito bom e robusto, o C-DEEPSO implementado se mostrou como uma ferramenta que desempenhou bem para problemas multimodais de alta dimensão. O PSO permanece como uma opção viável para problemas mais simples, e o AG requereria modificações na sua implementação para competir nestes benchmarks.

Referências

- [1] S. Surjanovic and D. Bingham, “Virtual Library of Simulation Experiments: Test Functions and Datasets,” Acessado em 7 de julho de 2025, em <https://www.sfu.ca/~ssurjano/optimization.html>.
- [2] Y. Zhang, J. Liu, and H. Wang, “A Comparative Study of Recent Multi-objective Optimization Algorithms for Solving Engineering Problems,” in *2022 IEEE Congress on Evolutionary Computation (CEC)*, 2022, pp. 1-8.
- [3] C. L. Hwang and A. S. M. Masud, “A survey of multiobjective optimization methods for engineering,” *Lecture Notes in Economics and Mathematical Systems*, vol. 164, pp. 1-34, 1979.

- [4] A. Gaspar-Cunha, R. Takahashi, and C. H. Antunes, Eds., *Manual de Computação Evolutiva e Metaheurísticas*. Belo Horizonte: Editora UFMG, 2013.
- [5] R. H. C. Takahashi, “Otimização Escalar e Vetorial Volume 2: Otimização Escalar,” *Notas de Aula, Departamento de Matemática, Universidade Federal de Minas Gerais*, 2007.
- [6] Optuna Development Team, “Optuna: A hyperparameter optimization framework,” Acessado em 7 de julho de 2025, em <https://optuna.org/>.
- [7] DATAtab, “Friedman Test Tutorial,” Acessado em 7 de julho de 2025, em <https://datatab.net/tutorial/friedman-test>.
- [8] D. Wallis, “Comparing Classifiers: Friedman and Nemenyi Tests,” Acessado em 7 de julho de 2025, em <https://medium.com/@diogeneswallis/comparing-classifiers-friedman-and-nemenyi-tests-32294103ee12>.
- [9] Baylor.AI, “Friedman Test and Nemenyi Post-hoc Test,” Acessado em 7 de julho de 2025, em <https://baylor.ai/?p=2665>.